

鉛直上向き噴流による Water curtain の基礎的研究(第2報)
— 連行流の拡散量算定の一方法 —

大阪大学工学部 ○正員 村岡浩爾
同 大学院 学生員 清水洋

1. 序：自由噴流のとき self-preserving flow の拡散問題は G.K. Batchelor の相似理論(1957)があるが、現象を一次元化したこの理論は実用的には利用しがたい面がある。しかし、この拡散現象の理論解明はかなり困難なことから、今後も実験的に現象を把握する必要がある。たとえば、図-1のような二次元上向き自由噴流で water-curtain を作るとき、問題となるのは流速分布特性と並んで水質の混合を考えられよう。この場合、具体的な工学問題としては噴流を狭い片側水域から連行流が他水域へ移行する輸送量の算定が必要で、これを基礎的実験事実を基にして推定する方法がここで述べられていく。

2. 拡散現象の実験的事実：筆者らは図-1の source S_0, S_2, S_5 から粒子 tracer を注入し、噴流内の目盛尺 M_0, M_2, \dots, M_5 で観測した拡散特性に因して次のような結果を得ている。

(i) source の位置にかかわらず各目盛尺で観測される tracer の分布形はほぼ正規分布とみなせ、流れのせん断効果は顕著でない。

(ii) S_{15} のように連行流の拡散に因し、各目盛尺の分布の平均値をつなぐ線は S_{15} を通る連行流の平均流の流線で近似される。

(iii) 図-2 に示すごとく、各分布の標準偏差 $\sqrt{(Y-\bar{Y})^2}$ は、source の位置にあまり関係せず、拡散距離の X 成分 X りみに因る X の小きい部分を除いては直線的に増加する。これは Batchelor の理論における $\sqrt{\sigma} \propto X$ と一致するものである。

3. 移行輸送量の算定式：上記の(i)(ii)(iii)を参考とし、図-3 に示すよ有限孔二次元噴流の連行流の移行輸送を考える。簡単のため、平均流は Albertson 理論を適用すると、流れの関数 ψ 、平均流速 \bar{U} 、 ∇ は

$$(core \text{ 内}) \quad \psi = U_{\infty} y, \quad \text{for } y + \sqrt{\pi C} \frac{x}{2} - \frac{d_0}{2} \leq 0 \\ (A \text{ 領域}) \quad \psi = U_{\infty} \sqrt{2} C X \operatorname{erf} \left(\frac{y + \sqrt{\pi C} \frac{x}{2} - \frac{d_0}{2}}{\sqrt{2} C X} \right) + U_{\infty} \frac{d_0}{2} \left(1 - \frac{\sqrt{\pi C} X}{\sqrt{2} C} \right), \quad \text{for } 0 \leq X \leq \frac{d_0}{\sqrt{\pi C}} \quad (1)$$

$$(C \text{ 領域}) \quad \psi = U_{\infty} \sqrt{\frac{d_0}{\pi C}} \cdot \sqrt{2} C \cdot \operatorname{erf} \left(\frac{y}{\sqrt{2} C X} \right), \quad \text{for } X \geq \frac{d_0}{\sqrt{\pi C}} \quad (1)$$

$$(core \text{ 内}) \quad U = U_{\infty}, \quad (2)$$

$$(A \text{ 領域}) \quad U = U_{\infty} \cdot \exp \left\{ - \frac{(y + \sqrt{\pi C} \frac{x}{2} - \frac{d_0}{2})^2}{2 C^2 X^2} \right\}, \quad (2)$$

$$(C \text{ 領域}) \quad U = U_{\infty} \sqrt{\frac{1}{\pi C}} \sqrt{\frac{d_0}{2}} \cdot \exp \left\{ - \frac{y^2}{2 C^2 X^2} \right\}, \quad (2)$$

$$(core \text{ 内}) \quad V = 0, \quad (3)$$

$$(A \text{ 領域}) \quad V = - U_{\infty} \frac{y - \frac{d_0}{2}}{X} \exp \left\{ - \frac{(y + \sqrt{\pi C} \frac{x}{2} - \frac{d_0}{2})^2}{2 C^2 X^2} \right\} + U_{\infty} \sqrt{2} C \operatorname{erf} \left(\frac{y + \sqrt{\pi C} \frac{x}{2} - \frac{d_0}{2}}{\sqrt{2} C X} \right) - U_{\infty} \frac{\sqrt{\pi C}}{2 X}, \quad (3)$$

$$(C \text{ 領域}) \quad V = - U_{\infty} \sqrt{\frac{d_0}{\pi C}} \cdot \frac{C}{\sqrt{2} X} \operatorname{erf} \left(\frac{y}{\sqrt{2} C X} \right) \quad (3)$$

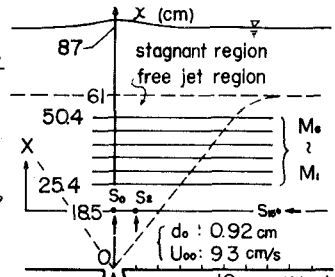


図-1 拡散実験説明図

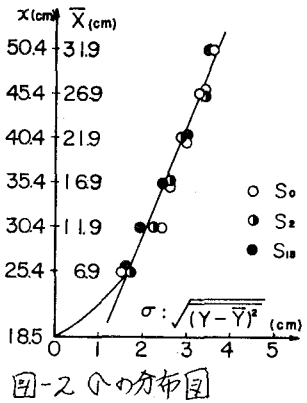


図-2 σ の分布図

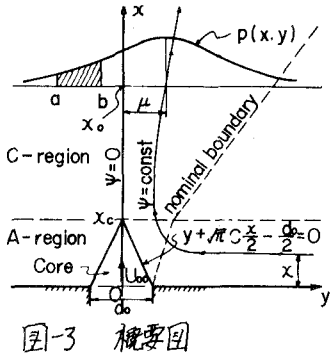


図-3 概要図

$$-\bar{U}_{\infty} \sqrt{\frac{d_0}{\pi C}} \cdot \frac{8}{Z^2} \exp \left\{ -\frac{Z^2}{2CZ} \right\},$$

ここに C は Albertson 係数である。特に $Z \rightarrow \infty$ の V の値 V_{∞} は (3) 式より

$$\begin{aligned} (\text{A-領域}) \quad V_{\infty} &= -\bar{U}_{\infty} \frac{\sqrt{\pi} C}{2} (\sqrt{Z} - 1), \\ (\text{C-領域}) \quad V_{\infty} &= -\bar{U}_{\infty} \sqrt{\frac{d_0}{\pi C}} \cdot \frac{\sqrt{\pi} C}{2\sqrt{Z}}, \end{aligned} \quad \left. \right\} (4)$$

図-3 に示すように $Z \rightarrow \infty$, $X = Z$ ウ一一本の連行流線を考え、これが拡散によって $Z = Z_0$ で $P(X_0)$ なる分布をするものとする。 $P(X_0)$ は平均値 μ , 標準偏差 σ の正規分布をすると考えると、

$$P(X_0) = \frac{1}{\sqrt{2\pi}\sigma} \exp \left\{ -\frac{(X_0 - \mu)^2}{2\sigma^2} \right\}, \quad (5)$$

したがって、 μ, σ (共に $Z_0 - X = Z$ の関数) が既知であると、 X と $(X + dX)$ を通る連行流線間を流れる連行流量が $X = Z_0$ の (a, b) 間を流れる確率を計算することができる。特に、 $a \rightarrow \infty$, $b = 0$ とし、 $X = Z$ の流線上の流量が $(-\infty, 0)$ 間を通過する確率を $R(X)$, $X = 0, X = Z_0$ との連行流量が $(-\infty, 0)$ 間を通過する確率を $R(X)$ とすると、

$$R(X) = \frac{1}{2} - \frac{1}{\sqrt{\pi}\sigma} \operatorname{erf} \left(\frac{\mu}{\sqrt{2}\sigma} \right), \quad (6)$$

$$R(X) = \frac{1}{2} (\sqrt{Z} - 1) \int_{Z_0}^{Z} \left\{ \frac{\sqrt{\pi}}{2} - \operatorname{erf} \left(\frac{\mu}{\sqrt{2}\sigma} \right) \right\} dZ + \frac{\sqrt{d_0}}{\sqrt{\pi} C} \int_{Z_0}^{Z} \left\{ \frac{\sqrt{\pi}}{2} - \operatorname{erf} \left(\frac{\mu}{\sqrt{2}\sigma} \right) \right\} dZ, \quad (7)$$

ここで、 μ は (7) 式右辺分子の第一項および第二項に対し、それぞれ

$$\operatorname{erf} \left(\frac{\mu}{\sqrt{2}\sigma} \right) = \frac{\pi^{1/2} \sqrt{C}}{2} \frac{X}{\sigma \sqrt{Z_0}} \left(-\frac{1}{2} \right) + \frac{\pi^{1/2}}{2\sqrt{C}} \sqrt{\frac{d_0}{Z_0}}, \quad \text{for } 0 < X < Z_0 \quad (8)$$

$$\operatorname{erf} \left(\frac{\mu}{\sqrt{2}\sigma} \right) = \frac{\pi^{1/2}}{2} \sqrt{\frac{d_0}{Z_0}}, \quad \text{for } X > Z_0, \quad (9)$$

①は説明図図-4 を参照し、 $\alpha = \alpha' \bar{U}_0 t_*$, $\beta = \beta' \bar{U}_0 t_*$ (\bar{U}_0 : 噴流軸上流速, t_* : 寿命時間) と考え、 $t_* = 1.4 \text{ sec}$ として α' , β' および直線の勾配 m を図-4 の実験結果から決定すると $\alpha' \approx 1/4$, $\beta' \approx -1/2$, $m \approx 1/7$ となり

$$(\text{直線部}) \quad Z_0 - X = 17 \bar{U}_0 - 0.5 (\bar{U}_0 X), \quad (\text{曲線部}) \quad Z_0 - X = \frac{2.910}{(Z_0 X)^{1/2}} \bar{U}_0^3 \quad (10)$$

(9) 式は source がいずれの位置にあっても成立つと仮定し、 $(Z_0 - X)$ が α より大きいか小さいかによって (9) 式を使いわけて μ を求められる。 \bar{U}_0 は (2) 式より求められる。

4. 結果と検討: $Z_0 = 20 d_0$, $d_0 = 4 \text{ cm}$, $\bar{U}_0 = 60 \text{ cm/s}$, $C = 0.109$ として (6), (7) を計算したものが図-5, 図-6 である。また同条件での既往の実験値²⁾を図-5 に plot したところ、理論値はかなり小さくなつた。ただし、理論値においては無限域噴流の $X = Z$ 位置の負領域に移行する確率であり、実験では $X = Z$ が水面となる有限域噴流の移行確率であり、理論では水面による stagnation 効果に考慮を払っていない。

以上の考察は噴流の微視的乱流構造に直接ふれず、(i) (ii) の実験的事実を重視したかなり大胆な仮定に基づくものである。特に、(9) 式の下は噴流場の条件、source の位置に大きく影響するものであるにも拘らず、單なる一例の実験結果から μ の値を規定するには危険であり、かつ図-5 の理論、実験の不一致の原因となつている。したがつて、今後は μ をあらゆる噴流状態について調べる必要がある。終りに当つて本実験と理論考察に有益な検討を加えて頂いた室田明教授に感謝の意を表したい。

参考文献 1) 村岡「自由噴流における拡散現象について(Batchelor の相似理論と問題点)」関西支部講演会 講43.5

2) 村岡「鉛直上向き噴流による water curtain の基礎的研究(第一報)」年次講演会 講42.5

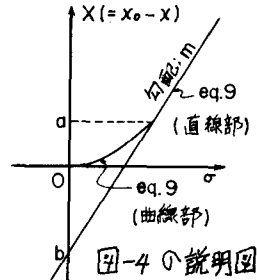


図-4 の説明図

